

PRINCÍPIOS DE CONTROLE E SERVOMECANISMO

JOSÉ C. GEROMEL e RUBENS H. KOROGUI

DSCE / Faculdade de Engenharia Elétrica e de Computação
UNICAMP, CP 6101, 13083 - 970, Campinas, SP, Brasil,
geromel@dsce.fee.unicamp.br

Campinas, Janeiro de 2007

NOTA AO LEITOR

- Este material foi preparado como suporte às aulas e é inteiramente baseado no livro texto, em fase de redação :
 - José C. Geromel e Rubens H. Korogui, *Controle Linear de Sistemas Dinâmicos : Teoria, Ensaios Práticos e Exercícios*, 2007.

onde o leitor deverá encontrar maiores informações e detalhes a respeito dos tópicos aqui abordados. Sugestões, de qualquer natureza, que permitam o aprimoramento deste texto serão muito apreciadas e desde já agradecidas.

Conteúdo

1 Capítulo IV - Projeto via Representação de Estado

- Introdução
- Realimentação de estado
 - Exemplo
 - Controlabilidade
- Regulador linear quadrático
 - Exemplo
- Observador de estado
 - Exemplo
 - Observabilidade
- Projeto de servomecanismos
- Projeto final



Introdução

- No capítulo anterior, realizamos o projeto de controladores no domínio da transformada de Laplace, traduzindo as especificações de projeto nas posições em que os pólos dominantes do sistema em malha fechada deveriam ser alocados.
 - Inicialmente, fixamos a estrutura do controlador e calculamos a melhor alocação para seus pólos e zeros, a fim de respeitar o desempenho durante o transitório. Por fim, o ajuste do ganho estático permitiu definir o comportamento em regime.
 - Entretanto, com esta técnica não temos atuação eficaz sobre a posição dos pólos não dominantes em malha fechada, o que leva a comportamentos da saída controlada que não são exatamente os especificados.

Introdução

- Esta dificuldade na alocação de todos os pólos de um sistema de controle em malha fechada, pode ser contornada aumentando-se o número de parâmetros do controlador.
 - Para um sistema de ordem n , se dispusermos de, no mínimo, n parâmetros de projeto poderíamos alocar os n pólos em malha fechada em posições pré-especificadas.
 - Porém, o aumento do número de graus de liberdade no projeto do controlador é acompanhado pelo aumento de sua complexidade e, portanto, de seu custo.
 - Neste capítulo abordaremos o projeto de controladores no contexto de espaço de estado e estudaremos como alocar convenientemente os pólos de um sistema em malha fechada, como uma alternativa à resolução de equações Diofantinas.

Realimentação de estado

- Nosso enfoque será restrito a sistemas dinâmicos que possuam apenas **uma entrada e uma saída** com função de transferência expressa na forma

$$G(s) = \frac{c_m s^m + c_{m-1} s^{m-1} + \cdots + c_1 s + c_0}{s^n + a_{n-1} s^{n-1} + \cdots + a_1 s + a_0} + d$$

com $m < n$.

- Denotando a entrada do sistema por $u(t)$ e sua saída por $y(t)$, podemos representá-lo, alternativamente, através das equações de estado

$$\begin{aligned}\dot{x}(t) &= Ax(t) + Bu(t) \\ y(t) &= Cx(t) + Du(t)\end{aligned}$$

onde $x(t) \in \mathbb{R}^n$, $u(t) \in \mathbb{R}$ e $y(t) \in \mathbb{R}$

Realimentação de estado

- A correspondência entre os parâmetros da função de transferência $G(s)$ com as matrizes da sua representação de estado é dada pela forma canônica

$$A = \begin{bmatrix} 0 & 1 & 0 & \cdots & 0 \\ 0 & 0 & 1 & \cdots & 0 \\ \vdots & \vdots & \vdots & \ddots & \vdots \\ 0 & 0 & 0 & \cdots & 1 \\ -a_0 & -a_1 & -a_2 & \cdots & -a_{n-1} \end{bmatrix}, \quad B = \begin{bmatrix} 0 \\ 0 \\ \vdots \\ 0 \\ 1 \end{bmatrix}$$

- Condições iniciais podem ser impostas através da especificação do estado inicial $x(0) = x_0 \in \mathbb{R}^n$.

Realimentação de estado

Realimentação de estado

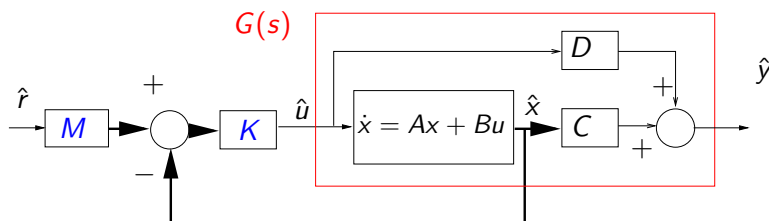
- Portanto, concluímos que as dimensões das matrizes envolvidas são $A \in \mathbb{R}^{n \times n}$, $B \in \mathbb{R}^{n \times 1}$, $C \in \mathbb{R}^{1 \times n}$ e $D \in \mathbb{R}$. A maneira como elas definem a função de transferência do sistema é

$$G(s) = C(sl - A)^{-1}B + D$$

- Um procedimento bastante simples para se projetar um controlador com n parâmetros livres é calcular um vetor $K \in \mathbb{R}^{1 \times n}$ de modo que cada um de seus componentes multiplique uma variável de estado, a fim de sintetizar o sinal de controle $u(t)$. Esta estratégia de controle é denominada **realimentação de estado**.

Realimentação de estado

- Esta estrutura de controle é representada no diagrama



- Esta estratégia de projeto requer que todos os estados sejam mensuráveis, o que nos obriga a medir as n variáveis de estado, ou caso não seja possível fazê-lo, devemos estimá-las.

Realimentação de estado

- A partir do diagrama de blocos anterior temos

$$u(t) = K(Mr(t) - x(t))$$

onde $K \in \mathbb{R}^{1 \times n}$ e $M \in \mathbb{R}^{n \times 1}$. Observe que r é a referência para a saída y enquanto que Mr é a referência para o estado. Os ganhos K e M são variáveis a serem projetadas. Assim, o sistema em malha fechada fica definido pelas equações de estado

$$\begin{aligned}\dot{x} &= (A - BK)x + BKMr , \quad x(0) = x_0 \\ y &= (C - DK)x + D KM r\end{aligned}$$

cuja função de transferência é dada por

$$F(s) = (C - DK) \left(sI - (A - BK) \right)^{-1} BKM + D KM$$

Realimentação de estado

- A partir desta descrição, as seguintes considerações são pertinentes:
 - Podemos determinar o vetor de ganho K de tal forma a **alocar os pólos** do sistema em malha fechada em posições adequadas no plano complexo, de acordo com os critérios de desempenho especificados para o projeto.
 - Com $S(s) = (C - DK)(sl - (A - BK))^{-1}B + D$ escalar, após a determinação de K podemos calcular M de tal forma que $F(0) = S(0)KM = 1$. Por exemplo

$$M = S(0)^{-1}K'(KK')^{-1}$$

faz com que o erro em regime permanente para a entrada degrau seja **sempre nulo**.

- Calculamos K para posicionar os pólos do sistema em malha fechada e, em seguida, determinamos o ganho de referência M para assegurar o desempenho em regime permanente.

Projeto do regulador

- Dado um sistema linear assintoticamente estável com entrada constante, a sua saída em regime permanente será constante. Se ele for submetido a um distúrbio externo ou algum de seus parâmetros se alterar, deseja-se que a sua saída retorne ao valor original após um determinado tempo - transitório. Esta propriedade é denominada **comportamento regulador** do sistema.
- Ao tratarmos sistemas lineares, podemos encarar o problema de regulação de maneira mais simples, impondo que

$$r(t) = 0 \implies \lim_{t \rightarrow \infty} x(t) = 0, \quad \forall x(0) \in \mathbb{R}^n$$

Ou, em outras palavras, o sistema em malha fechada deve ser **assintoticamente estável**.

Projeto do regulador

- No contexto de realimentação de estado o problema de regulação da saída deve ser formulado da seguinte maneira:
Calcular um vetor de constantes

$$K = [k_1 \ k_2 \ \dots \ k_n] \in \mathbb{R}^{1 \times n}$$

de tal forma que o sinal de controle $u = -Kx$ garanta a estabilidade assintótica do sistema em malha fechada. Dada a sua representação de estado, fixando $r = 0$ obtemos

$$\begin{aligned}\dot{x}(t) &= (A - BK)x(t) , \quad x(0) = x_0 \\ y(t) &= (C - DK)x(t)\end{aligned}$$

Projeto do regulador

- Com as matrizes A e B da representação de estado anteriormente consideradas, determinamos a equação característica do sistema em malha fechada

$$\det(sl - (A - BK)) = s^n + \sum_{i=0}^{n-1} (a_i + k_{i+1})s^i$$

- Se os pólos do sistema em malha fechada são especificados, então conhecemos os coeficientes p_0, \dots, p_{n-1} do polinômio

$$P(s) = s^n + \sum_{i=0}^{n-1} p_i s^i$$

cujas raízes são os referidos pólos. Igualando estes polinômios obtemos

$$K = [p_0 - a_0 \quad p_1 - a_1 \quad \cdots \quad p_{n-1} - a_{n-1}] \in \mathbb{R}^{1 \times n}$$

Projeto do regulador

- Os seguintes aspectos são importantes :
 - O ganho de realimentação K que acabamos de determinar só é válido quando as matrizes A e B estiverem na forma canônica apresentada anteriormente.
 - A técnica de projeto via realimentação de estado é escolher as raízes do polinômio $P(s)$ de modo que os pólos dominantes do sistema em malha fechada apresentem as características desejadas da resposta transitória.
 - Com relação aos demais pólos, eles devem estar suficientemente afastados, à esquerda, dos pólos dominantes.
- O exemplo a seguir dá uma idéia do que ocorre quando tentamos alocar os pólos muito distantes do eixo imaginário. Deve-se esperar que o **ganho aumente** quando desejamos fazer com que o sistema responda com um **tempo de estabilização menor**.

Exemplo

- A representação des estado do motor de corrente contínua já considerado é

$$\begin{aligned}\dot{x} &= \begin{bmatrix} 0 & 1 \\ -0.1429 & -1.0714 \end{bmatrix}x + \begin{bmatrix} 0 \\ 1 \end{bmatrix}u \\ y &= \begin{bmatrix} 0.0714 & 0 \end{bmatrix}x\end{aligned}$$

onde y é a velocidade angular da carga e u a tensão de alimentação. O objetivo é determinar os ganhos $K \in \mathbb{R}^{1 \times 2}$ e $M \in \mathbb{R}^{2 \times 1}$ de tal forma que o sistema em malha fechada:

- seja estável e acompanhe um degrau unitário com **erro nulo em regime permanente**.
- não apresente sobre-elevação no sinal de saída, em relação ao degrau de entrada, no domínio do tempo.

Exemplo

- Três casos distintos foram considerados :

- Pólos em malha fechada definidos por $P(s) = (s + 0.25)^2$.

$$K = \begin{bmatrix} -0.0804 & -0.5714 \end{bmatrix}, M = \begin{bmatrix} -0.2114 \\ -1.5022 \end{bmatrix}$$

- Pólos em malha fechada definidos por $P(s) = (s + 0.50)^2$.

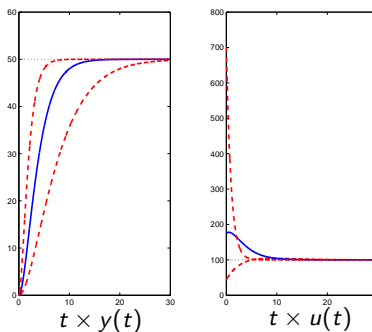
$$K = \begin{bmatrix} 0.1071 & -0.0714 \end{bmatrix}, M = \begin{bmatrix} 22.6335 \\ -15.0890 \end{bmatrix}$$

- Pólos em malha fechada definidos por $P(s) = (s + 1.00)^2$.

$$K = \begin{bmatrix} 0.8571 & 0.9286 \end{bmatrix}, M = \begin{bmatrix} 7.5171 \\ 8.1442 \end{bmatrix}$$

Exemplo

- Como ilustração, na figura abaixo, mostramos a evolução da saída $y(t)$ e do sinal de controle $u(t)$ para o **primeiro**, **segundo** e **terceiro** casos definidos anteriormente. O sinal de referência adotado foi $\hat{r}(s) = 50/s$ [rad/s].



Exemplo

- É importante observar que :

- Quanto mais distante os pólos do sistema em malha fechada estiverem dos pólos em malha aberta, **maiores** devem ser os módulos dos elementos do ganho de realimentação **K** .
- No exemplo anterior este efeito fica bastante claro. As duas figuras anteriores mostram que ao alocarmos os pólos em malha fechada mais à esquerda, o sistema responde com um **tempo de estabilização menor**. Porém, em contra-partida, a intensidade do controle $u(t)$ **aumenta de forma expressiva**.
- A lei de realimentação obtida é dada por

$$u = K(Mr - x)$$

a qual pode, naturalmente, ser re-escrita na forma
 $u = hr - Kx$ com $h = KM \in \mathbb{R}$.

Controlabilidade

- Ao realizarmos um projeto via realimentação de estado não basta que tenhamos acesso a todas as variáveis de estado. Devemos nos certificar de que o ganho de realimentação é capaz de alocar arbitrariamente os pólos do sistema em malha fechada.
- Em outras palavras, é necessário que exista uma entrada $u(t)$ que seja capaz de transferir o sistema de um estado inicial $x(0) = 0$ para um estado final qualquer $x(T)$, em um intervalo de tempo finito.
- Esta propriedade é chamada **controlabilidade** e pode ser verificada através do teste

$$\det(\mathcal{C}) \neq 0 , \quad \mathcal{C} = [B \quad AB \quad \cdots \quad A^{n-1}B] \in \mathbb{R}^{n \times n}$$

Controlabilidade

- Se o sistema $\dot{x} = Ax + Bu$ for controlável, com $x(0) = 0$ e $T > 0$ dado temos

$$x(T) = \int_0^T e^{A(T-\tau)} Bu(\tau) d\tau$$

Podemos verificar que uma possível solução para esta equação é expressa na forma

$$u(t) = B'e^{A'(T-t)} W^{-1} x(T)$$

onde

$$W = \int_0^T e^{A\tau} BB' e^{A'\tau} d\tau \in \mathbb{R}^{n \times n}$$

Notando que

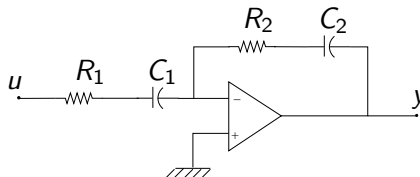
$$\det(C) \neq 0 \iff W > 0$$

a existência da inversa de $W \in \mathbb{R}^{n \times n}$ está assegurada.

Exemplo

- No circuito abaixo o amp-op é considerado ideal. A tensão u é a entrada e a tensão y é a saída. Considerando como variáveis de estado as tensões v_1 e v_2 nos capacitores, obtemos

$$\begin{aligned}\dot{x} &= \begin{bmatrix} -1/R_1 C_1 & 0 \\ 1/R_1 C_2 & 0 \end{bmatrix} x + \begin{bmatrix} 1/R_1 C_1 \\ -1/R_1 C_2 \end{bmatrix} u \\ y &= \begin{bmatrix} R_2/R_1 & 1 \end{bmatrix} x + \begin{bmatrix} -R_2/R_1 \end{bmatrix} u\end{aligned}$$



Exemplo

- Com $u = -Kx$ a equação característica do sistema em malha fechada é

$$s \left(s + \frac{1 + k_1}{R_1 C_1} - \frac{k_2}{R_1 C_2} \right) = 0$$

Uma das raízes não depende do ganho de realimentação $K \in \mathbb{R}^{1 \times 2}$. Este sistema **não é controlável**.

- A matriz de controlabilidade \mathcal{C} é **singular**

$$\mathcal{C} = \frac{1}{R_1 C_1} \begin{bmatrix} 1 & -1/R_1 C_1 \\ -C_1/C_2 & 1/R_1 C_2 \end{bmatrix}$$

- A matriz W é **singular** para todo $T > 0$

$$W = \left(\frac{1 - e^{-2T/R_1 C_1}}{2R_1 C_1} \right) \begin{bmatrix} 1 & -C_1/C_2 \\ -C_1/C_2 & C_1^2/C_2^2 \end{bmatrix}$$

Regulador linear quadrático

- Não é fácil decidir onde alocar os pólos de um determinado sistema dinâmico que se deseja controlar. Pólos estáveis muito distantes do eixo imaginário geram as seguintes implicações:
 - O sistema em malha fechada responde mais rapidamente.
 - A largura de faixa aumenta e, consequentemente, o sistema pode não atenuar de forma adequada ruídos de alta freqüência.
 - Os ganhos de realimentação tornam-se elevados.
 - O controlador deve gerar um sinal de grande amplitude para controlar o sistema.
- Para conciliar um comportamento transitório adequado para o sistema em malha fechada com a energia do sinal de controle dentro de limites aceitáveis, define-se um critério de desempenho que nos permite calcular o ganho de realimentação de estado.

Regulador linear quadrático

- O critério mais conhecido consiste em encontrar uma lei de controle de modo a minimizar

$$J = \int_0^{\infty} (x(t)' Q x(t) + \rho u(t)^2) \ dt$$

onde $x(t)$ e $u(t)$ satisfazem as equações de estado

$$\dot{x}(t) = Ax(t) + Bu(t), \quad u(t) = -Kx(t)$$

a partir da condição inicial $x(0) = x_0$.

- O controlador que resolve este problema é chamado de **regulador linear quadrático**.
- Na situação que estamos estudando, consideramos apenas uma entrada no sistema e, por isso, $\rho > 0$ é um escalar. Por sua vez, $Q = V'V \geq 0 \in \mathbb{R}^{n \times n}$.

Regulador linear quadrático

- O papel da matriz Q e do escalar ρ é definir o peso relativo que o estado e o sinal de controle têm no cálculo do critério J .
- Se $Q \gg \rho I_n > 0$
 - O peso do sinal de controle no cálculo do critério é reduzido.
 - O sinal de controle pode atingir valores elevados.
 - O sistema responde com maior velocidade.
 - Há a possibilidade de saturação de atuadores.
- Em contrapartida, se $0 \leq Q \ll \rho I_n$
 - A energia do sinal de controle tem maior peso no cálculo do critério.
 - As componentes do ganho de realimentação de estado serão de pequeno valor absoluto.
 - O sistema não apresentará uma resposta rápida.

Regulador linear quadrático

- A solução do problema anterior, que permite calcular o regulador linear quadrático, é dada através do seguinte teorema :

Teorema (RLQ)

O critério quadrático J é minimizado pela lei de controle linear $u = -Kx$ e, são verdadeiras as seguintes afirmações:

- O ganho ótimo é dado por $K = \rho^{-1}B'P$ onde $P = P' > 0$ é solução da equação de Riccati

$$A'P + PA - \rho^{-1}PBB'P + Q = 0$$

- O sistema em malha fechada é assintoticamente estável.
- O critério é dado por $J_{min} = x_0'Px_0$.

Regulador linear quadrático

- A prova ([simplificada](#)) do teorema anterior decorre do sistema

$$\dot{x} = Ax + Bu, \quad x(0) = x_0$$

e da função de Lyapunov $v(x) = x'Px$, com $P > 0$ calculada a partir da equação de Riccati. Derivando em relação ao tempo, obtemos

$$\begin{aligned}\dot{v}(x) &= x'(A'P + PA)x + u'B'Px + x'PBu \\ &= x'(\rho^{-1}PBB'P - Q)x + u'B'Px + x'PBu \\ &= -x'Qx - \rho u'u + \rho(u + \rho^{-1}B'Px)'(u + \rho^{-1}B'Px)\end{aligned}$$

cuja integral de 0 a $+\infty$ fornece

$$J = v(x(0)) - v(x(\infty)) + \rho \int_0^{\infty} (u + \rho^{-1}B'Px)'(u + \rho^{-1}B'Px) dt$$

Regulador linear quadrático

- Como $v(x) = 0$ se e apenas se $x = 0$ e queremos que a lei de controle garanta a estabilidade do sistema em malha fechada, devemos impor $v(x(\infty)) = 0$. Portanto, com a equação anterior obtemos

$$\begin{aligned} J &= v(x_0) + \rho \int_0^{\infty} (u + \rho^{-1} B' P x)' (u + \rho^{-1} B' P x) dt \\ &\geq v(x_0) \end{aligned}$$

que é válida para todo controle que estabiliza o sistema em malha fechada. Em conclusão, fazendo $u = -Kx$ com $K = \rho^{-1} B' P$ o critério quadrático é minimizado e seu valor é dado por $J_{min} = x_0' P x_0$.

Regulador linear quadrático

- A partir de

$$\dot{x} = (A - BK)x \quad , \quad x(0) = x_0$$

como já sabemos, para todo $K \in \mathbb{R}^{1 \times n}$ que estabiliza o sistema em malha fechada, podemos expressar o critério quadrático como

$$J = x_0' P x_0$$

onde $P = P' > 0$ resolve a equação de Lyapunov

$$(A - BK)'P + P(A - BK) + Q + \rho K'K = 0$$

O Teorema anterior coloca em evidência que o ganho de realimentação de estado que minimiza J é obtido através da relação $K = \rho^{-1}B'P$ com a qual, substituída na equação acima, obtemos a equação de Riccati.

Regulador linear quadrático

- Ao ponderarmos no critério quadrático uma combinação linear dos estados, definida por $Q = V'V$ com $V \in \mathbb{R}^{1 \times n}$, temos:

Fato (Lugar das raízes simétrico)

*Seja $\varphi(s) = V(sl - A)^{-1}B$ e $\rho > 0$. Os pólos do sistema em malha fechada são **todas** as raízes de*

$$1 + \rho^{-1}\varphi(-s)\varphi(s) = 0$$

situadas no semi-plano esquerdo complexo.

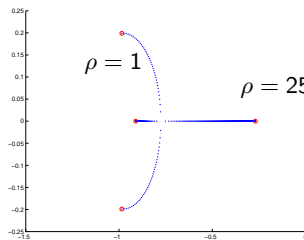
- Como $\varphi(s)$ é conhecida, o lugar das raízes em relação a $\rho^{-1} > 0$ pode ser obtido. Uma localização desejada dos pólos é imposta através da escolha de $\rho > 0$.
- É preciso ter cuidado pois a equação característica acima pode não estar na forma padrão.

Exemplo

- Considere novamente o modelo do motor de corrente contínua. Resolvemos o problema linear quadrático para

$$Q = \begin{bmatrix} 1 & 0 \\ 0 & 1 \end{bmatrix}$$

e $1 \leq \rho \leq 25$. A figura abaixo mostra a posição dos pólos do sistema em malha fechada em função de ρ .



Exemplo

- Para $\rho = 25$ a solução da equação de Riccati é dada por

$$P = \begin{bmatrix} 3.4271 & 2.5726 \\ 2.5726 & 2.7289 \end{bmatrix} > 0$$

a qual permite determinar o ganho de realimentação

$$K = [0.1029 \quad 0.1092]$$

que posiciona os pólos em $\{-0.2699, -0.9106\}$. Como anteriormente, podemos determinar a matriz

$$M = \begin{bmatrix} 15.7423 \\ 16.6982 \end{bmatrix}$$

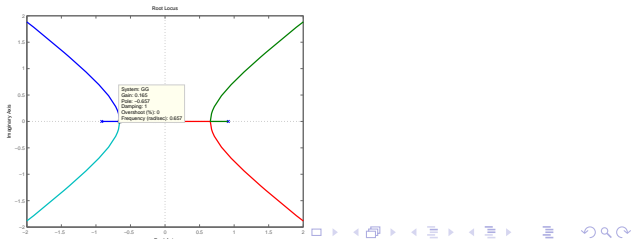
para assegurar **erro nulo** em regime permanente para a entrada degrau.

Exemplo

- Considerando $V = [1 \ 0]$ obtemos imediatamente

$$\varphi(s) = \frac{1}{s^2 + 1.0714s + 0.1429}$$

A figura abaixo mostra o lugar das raízes simétrico. O valor de $\rho \approx 6$ permite obter, através do regular linear quadrático, um sistema em malha fechada com excelente desempenho e com um baixo esforço de controle. Verifique !



Observador de estado

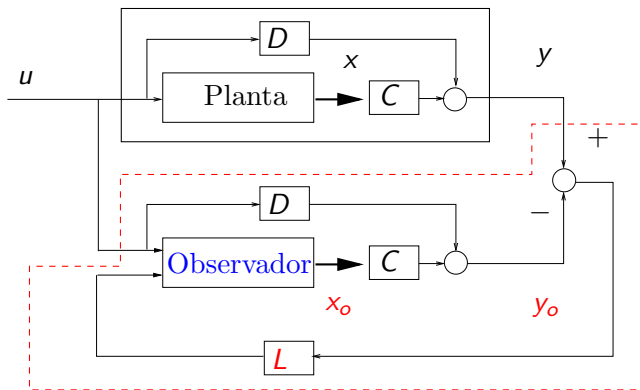
- A grande vantagem do projeto de controladores via realimentação de estado reside na possibilidade de alocarmos todos os pólos do sistema em malha fechada, em posições convenientes no plano complexo.
- Entretanto, nem sempre temos condições de medir todos os estados de um sistema, seja por motivos de custo de sensores ou por impossibilidade física de alocarmos os medidores.
- Uma forma de contornar esta dificuldade é **estimar os estados** de um sistema dinâmico através das suas saídas mensuráveis e, de posse da estimativa do estado, utilizá-la como se fosse o estado verdadeiro.

Observador de estado

- O **observador de estado** é a estrutura que nos permite estimar o estado de um sistema dinâmico tendo como entrada o sinal que atua no sistema físico e a sua saída mensurável.
- Para sintetizá-lo é necessário conhecermos com boa precisão o modelo do sistema que desejamos controlar, a fim de que as estimativas dos estados sejam mais fiéis possíveis aos valores reais.
- Como o estado não é conhecido, as condições iniciais do sistema físico e as do estimador de estado são, em geral, diferentes. Portanto, devemos assegurar que o estado estimado converja para o estado verdadeiro o **mais rápido possível**.

Observador de estado

- Em termos de diagramas de blocos a sua estrutura, baseada no **modelo interno** da planta, é dada abaixo:



Observador de estado

Observador de estado

- Lembrando que o modelo da planta é

$$\dot{x} = Ax + Bu$$

$$y = Cx + Du$$

da figura anterior, as equações de estado do observador são

$$\dot{x}_o = Ax_o + Bu + L(y - y_o)$$

$$y_o = Cx_o + Du$$

- Devemos notar que a comparação entre a saída estimada $y_o(t)$ e a saída real $y(t)$ é fundamental para assegurarmos que o estado estimado $x_o(t)$ se aproxime do estado verdadeiro $x(t)$.
- O ganho $L \in \mathbb{R}^{n \times 1}$ deve ser determinado de maneira a garantir que $x_o(t)$ se aproxime de $x(t)$ de forma adequada.

Observador de estado

- Definindo o erro entre o estado verdadeiro e o estado estimado como sendo $e_o(t) \triangleq x(t) - x_o(t)$, temos:

$$\begin{aligned}\dot{e}_o &= \dot{x} - \dot{x}_o \\ &= Ax + Bu - (Ax_o + Bu + LCx - LCx_o) \\ &= (A - LC)e_o\end{aligned}$$

- Portanto, devemos calcular L de modo que o erro $e_o(t)$ entre a estimativa e o estado verdadeiro tenda para zero com uma velocidade aceitável para **qualquer condição inicial $e_o(0)$** .
- Devemos alocar os pólos de $A - LC$ de forma que eles sejam estáveis e mais rápidos que a dinâmica do sistema original!

Observador de estado

- Analogamente ao que ocorre na realimentação de estado, se as componentes do vetor L possuírem módulos **grandes**, o erro de estimativa tende a zero com uma velocidade muito alta, pois o observador de estado apresentará pólos com parte real muito negativa.
- Por outro lado, a **largura de faixa do observador** também será **grande** e, consequentemente, o ruído de medição da saída $y(t)$ afetará o desempenho do processo de estimativa.
- Uma das maneiras de se conseguir um compromisso adequado é determinar L através da solução de uma equação de Riccati.

Observador de estado

- De fato, considerando a existência de ruídos no sistema, a sua representação de estado torna-se

$$\begin{aligned}\dot{x} &= Ax + Bu + w \\ y &= Cx + Du + v\end{aligned}$$

e o erro de observação obedece a equação

$$\dot{e}_o = (A - LC) e_o + w - Lv$$

com a qual concluímos que o aumento do ganho do observador faz com que a dinâmica do erro torne-se mais rápida mas, em contra partida, a intensidade do ruído aditivo que interfere no erro de observação aumenta. Portanto, é imperativo estabelecermos um compromisso!

Observador de estado

- Considerando $w(t)$ e $v(t)$ dois ruídos brancos independentes com intensidades $Q = UU'$ e $\mu > 0$, o melhor compromisso é estabelecido ao resolvemos um problema linear quadrático que fornece o ganho ótimo do observador

$$L = \mu^{-1} \mathbf{R} C'$$

onde $\mathbf{R} > 0$ é a solução da equação de Riccati

$$AR + RA' - \mu^{-1} RC' CR + UU' = 0$$

Comparando com o regular linear quadrático, definindo $\psi(s) = C(sl - A)^{-1}U$, verifica-se que os pólos do observador são as soluções estáveis da equação algébrica

$$1 + \mu^{-1} \psi(-s) \psi(s) = 0$$

Exemplo

- Consideraremos o modelo do motor de corrente contínua apresentado no Capítulo I. Porém, a carga está engastada em um ponto fixo através de um eixo flexível com constante elástica κ . Assim, o modelo é dado por :

$$L \frac{di}{dt} + Ri = u - cK \frac{d\theta}{dt}$$

$$(J_c + J_m c^2) \frac{d^2\theta}{dt^2} + b \frac{d\theta}{dt} + \kappa\theta = cKi$$

Portanto, a partir da definição da variável de estado

$$x = \begin{bmatrix} i \\ \theta \\ \dot{\theta} \end{bmatrix}$$

considerando os valores numéricos já adotados anteriormente e $\kappa = 2$ [Nm/rad], obtemos

Observador de estado

Exemplo

- a sua representação de estado na forma

$$\begin{aligned}\dot{x} &= \begin{bmatrix} -1.0000 & 0 & -1.0000 \\ 0 & 0 & 1.0000 \\ 0.0714 & -0.1429 & -0.0714 \end{bmatrix} x + \begin{bmatrix} 1 \\ 0 \\ 0 \end{bmatrix} u \\ y &= [0 \ 0 \ 1] x\end{aligned}$$

sendo que a saída y representa a velocidade angular da carga.

- Como o pólo mais rápido do sistema é -0.9 , projetamos um observador de estado com todos os seus pólos iguais a -2 , portanto, **apenas um pouco mais rápido** que aquele citado. Isso nos fornece o ganho

$$L = \begin{bmatrix} -15.0000 \\ -55.0000 \\ 4.9286 \end{bmatrix}$$

Exemplo

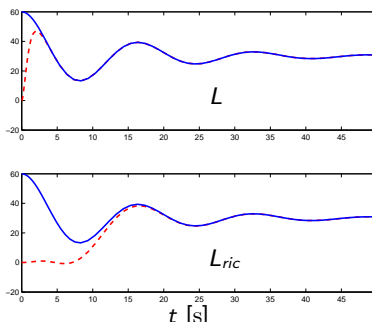
- Para comparação, consideramos os sinais de controle $u(t)$ e de saída $y(t)$ submetidos a ruídos aditivos brancos de tal forma que $U = 10^{-1}B$ e $\sqrt{\mu} = 10^{-2}$. Isto corresponde a implementar o sinal de controle com **erro de 10%** e medir o sinal de saída com **erro de 1%**. Neste caso, a partir da equação de Riccati determinamos o ganho ótimo

$$L_{ric} = \begin{bmatrix} 1.7587 \\ 0.0000 \\ 0.4349 \end{bmatrix}$$

e $\{-0.6087 \pm j0.3521, -0.2889\}$ os pólos do observador. Note a diferença entre L e L_{ric} , como consequência de termos levado em conta ruídos aditivos nos sinais de controle e de saída.

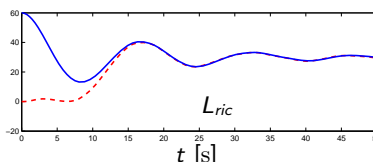
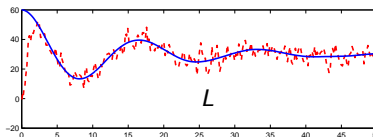
Exemplo

- A figura abaixo mostra a simulação do sistema a partir de $x(0) = [1 \ \pi/3 \ 0]'$ e entrada $u(t) = \pi/3$ para todo $t \geq 0$. O observador parte com condição inicial nula e, após um breve período de tempo, a posição angular da carga é perfeitamente estimada. Os ruídos **não foram introduzidos** na simulação.



Exemplo

- A figura abaixo mostra a simulação do sistema sob condições idênticas às anteriores mas com os ruídos aditivos nos sinais de controle e de saída. Neste caso, o desempenho de L_{ric} é muito melhor e é, praticamente, o mesmo que aquele observado na simulação anterior (sem ruído).



Observabilidade

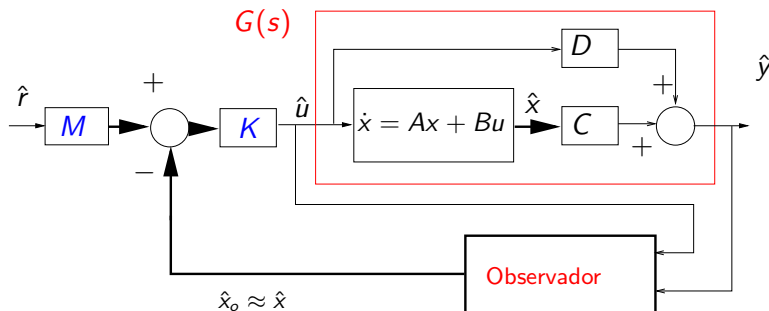
- Na construção de observadores, devemos atentar para a possibilidade de inferirmos os valores de todas as variáveis de estado, a partir de medidas disponíveis do sistema físico.
- Esta propriedade que o sistema deve apresentar é chamada **observabilidade** e, uma forma de testá-la é verificar se a matriz

$$\mathcal{O} = \begin{bmatrix} C \\ CA \\ \vdots \\ CA^{n-1} \end{bmatrix} \in \mathbb{R}^{n \times n}$$

chamada matriz de observabilidade, é **não singular**. No exemplo anterior, o sistema deixa de ser observável se $\kappa = 0$. Verifique!

Projeto de servomecanismos

- O projeto de um servomecanismo diz respeito à determinação dos ganhos K , M e L do observador de estado, tal modo que :
 - A saída y siga a referência r com erro nulo.
 - Só os sinais disponíveis u e y sejam utilizados.



Projeto de servomecanismos

- Da figura anterior, notamos que o presente projeto tem a mesma estrutura de realimentação de estado porém, com o estado verdadeiro substituído pelo estimado fornecido por um observador. Temos portanto:
 - Representação de estado da planta

$$\dot{x} = Ax + Bu$$

$$y = Cx + Du$$

- Representação de estado do observador

$$\dot{x}_o = Ax_o + Bu + L(y - y_0)$$

$$y_0 = Cx_0 + Du$$

- Sinal de controle

$$u = K(Mr - x_o)$$

Projeto de servomecanismos

- É importante determinarmos a representação de estado do sistema em malha fechada. Neste sentido, definindo a variável de estado aumentada

$$x_a = \begin{bmatrix} x \\ x - x_o \\ e_o \end{bmatrix}$$

com as equações anteriores obtemos

$$\begin{aligned}\dot{x}_a &= \begin{bmatrix} (A - BK) & BK \\ 0 & (A - LC) \end{bmatrix} x_a + \begin{bmatrix} BKM \\ 0 \end{bmatrix} r \\ y &= [(C - DK) \quad DK] x_a + DKMr\end{aligned}$$

a qual, permite duas conclusões muito importantes a respeito do projeto em estudo.

Projeto de servomecanismos

- A equação característica do sistema em malha fecha é

$$\det(sl - (A - BK))\det(sl - (A - LC)) = 0$$

ou seja, os seus pólos são aqueles alocados através da escolha do ganho de controle K como se o estado estivesse disponível para realimentação e, aqueles alocados através da escolha do ganho do observador L .

- Com a transformada de Laplace, determinamos a função de transferência

$$\hat{y} = \underbrace{\left[(C - DK) \left(sl - (A - BK) \right)^{-1} BKM + DKM \right]}_{F(s)} \hat{r}$$

Projeto de servomecanismos

- Estes cálculos permitem as seguintes conclusões :
 - A estabilidade e o desempenho do sistema em malha fechada dependem de escolhas **independentes** dos ganhos K e L .
 - A função de transferência entre a referência e a saída é **idêntica** àquela obtida via realimentação de estado, como se o estado estivesse disponível para realimentação. Portanto, como anteriormente, podemos determinar o ganho M de tal forma que

$$F(0) = S(0)KM = 1$$

Neste caso, a saída segue com erro nulo um degrau unitário.

- Estas propriedades decorrem de um resultado mais geral denominado **Teorema da Separação**.

Projeto de servomecanismos

- Tendo sido determinados os ganhos K , M e L é importante verificar como a estrutura de controle pode ser implementada, da maneira mais simples possível. Lembrando que

$$\hat{u} = KM\hat{r} - K\hat{x}_o$$

definimos o ganho escalar $h = KM$ e, aplicando a transformada de Laplace nas equações anteriores, obtemos

$$K\hat{x}_o = C_u(s)\hat{u} + C_y(s)\hat{y}$$

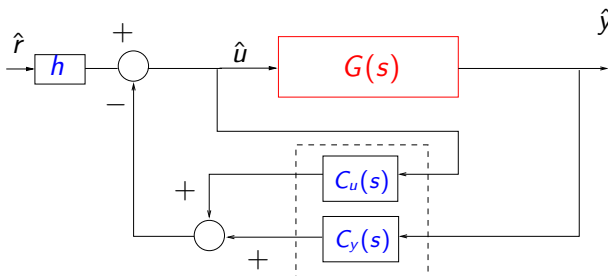
onde

$$C_u(s) = K(sl - (A - LC))^{-1}(B - LD)$$

$$C_y(s) = K(sl - (A - LC))^{-1}L$$

Projeto de servomecanismos

- A figura abaixo mostra a implementação final do controle que realimenta apenas as variáveis disponíveis em todo instante de tempo. Note que as funções de transferência $C_u(s)$ e $C_y(s)$ estão localizadas na malha de realimentação e são funções escalares.



Projeto final

- Vamos novamente considerar o modelo linearizado de um pêndulo invertido tratado no Capítulo I. Com os dados numéricos já fornecidos, a sua representação de estado é expressa na forma:

$$\begin{aligned}\dot{x}_p &= \begin{bmatrix} 0 & 1.0000 & 0 & 0 \\ 0 & 0 & 1.9600 & 0 \\ 0 & 0 & 0 & 1.0000 \\ 0 & 0 & 11.7600 & 0 \end{bmatrix} x_p + \begin{bmatrix} 0.0 \\ 0.1 \\ 0.0 \\ 0.1 \end{bmatrix} u \\ y &= [1 \ 0 \ -1 \ 0] x_p\end{aligned}$$

onde as componentes de $x_p \in \mathbb{R}^4$ denotam a posição do carro, sua velocidade, a posição angular do pêndulo em relação à vertical e a sua velocidade angular, respectivamente. A variável u denota a força externa e y é o deslocamento horizontal do pêndulo.

Projeto final

- O objetivo é equilibrar pêndulo na posição vertical e, simultaneamente, levar o carro para a origem do referencial inercial adotado. Inicialmente, determinamos os ganhos de controle K e M .
- **Ganhos de Controle :** Foi obtido através da solução do problema linear quadrático com

$$Q = \text{diag}\{1, 0, 1, 0\}, \rho = 10^{-2}$$

onde apenas os deslocamentos do carro e do pêndulo são penalizados. Resolvendo a equação de Riccati, determinamos

$$K = [-10.0000 \quad -21.4443 \quad 342.9299 \quad 103.0445]$$

Como o sinal de referência é nulo, adotamos $h = KM = 1$.

Projeto final

- A variável de saída indica que apenas o deslocamento horizontal do pêndulo é medido em todo instante de tempo $t \geq 0$. Com esta informação, construímos um observador para estimar todos os estados do sistema.
- **Ganho do Observador :** A matriz $A - BK$ tem autovalores

$$-3.4307 \pm j0.1475, -0.6493 \pm j0.6399$$

indicando que os pólos dominantes têm um fator de amortecimento de aproximadamente 0.7 e margem de fase de aproximadamente 70° . Situam-se portanto em valores adequados. Para o observador, considerando $U = 10^{-1} \times \text{diag}\{1, 1, 1, 1\}$ e $\sqrt{\mu} = 10^{-2}$, obtemos

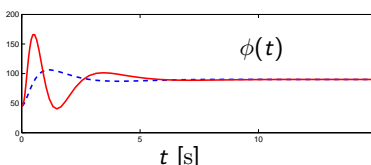
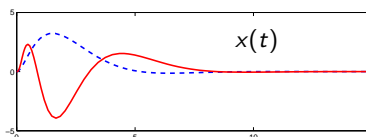
$$L = [-25.2191 \quad -35.9366 \quad -46.1407 \quad -154.7921]'$$

Projeto final

- Em seguida, determinamos as funções de transferência $C_u(s)$ e $C_y(s)$ que permitem implementar o controle final projetado. A seguir, mostramos a simulação do deslocamento horizontal do carro (primeira figura) e do deslocamento angular do pêndulo em relação à horizontal (segunda figura). As seguintes considerações são pertinentes:
 - Em $t = 0$ o carro está em repouso na origem e o pêndulo está em repouso em uma posição que forma um ângulo de 45° com a horizontal.
 - As trajetórias obtidas com o controle acima determinado estão mostradas **em vermelho**.
 - Para mera comparação, **em azul**, mostramos as trajetórias obtidas com o controle de realimentação de estado com o mesmo ganho K calculado, assumindo que todos os estados sejam conhecidos.

Projeto final

- Note a grande diferença entre as trajetórias! O controle via **realimentação de estado** é muito superior pois dispõe de muito mais informações do que simplesmente a saída. Note, entretanto, que só com a medida de $y(t)$ os critérios de desempenho, inicialmente estabelecidos, são atendidos.



Projeto final

- Para os mesmos ganhos de controle K e do observador L , consideramos dois outros aspectos bastante relevantes em qualquer projeto de controle, a saber :
 - As versões digitais dos controladores $C_u(s)$ e $C_y(s)$ foram calculadas considerando um **SOZ** nas respectivas entradas. Adotou-se o período de amostragem $T = 30 \text{ [ms]}$.
 - Para $F_z(s) = [1 \ 0 \ 0 \ 0](sl - (A - BK))^{-1}BKM$, determinamos a matrix **M** e o ganho $h = KM = -10$ fazendo com que a primeira variável - deslocamento do carro - do sistema em malha fechada, acompanhe uma entrada degrau, com **erro nulo** em regime permanente.
- A simulação a seguir mostra o carro equilibrando o pêndulo e voltando à origem $x = 0$. Em $t = 5 \text{ [s]}$, um degrau de amplitude $r = 10$ é aplicado indicando que o carro deve equilibrar o pêndulo e se deslocar para a posição $x = 10 \text{ [m]}$.

Projeto final

- A seguir vemos o deslocamento do carro e do pêndulo, com os controladores $C_u(s)$, $C_y(s)$ e suas respectivas versões digitais $C_u(z)$, $C_y(z)$. Note a queda no desempenho que se acentua conforme o período de amostragem aumenta, até o limite de estabilidade que ocorre, aproximadamente, para $T = 50$ [ms].

